

PRAKTIKUM Z FYZIKY PLAZMATU

Diagnostika plazmatu doutnavého výboje pomocí jednoduché sondy

Zpracovali: Radek Horňák, Lukáš Vrána

Naměřeno: 1. 3. 2022

1 Teorie

1.1 Elektrostatická Langmuirova sonda

Langmuirova sonda je vodič malých rozměrů zavedený do plazmatu, pomocí něž lze měřit nejdůležitější parametry plazmatu jako elektronovou hustotu n_e , teplotu elektronů T_e , rozdělovací funkci elektronů $f(v)$ a prostorové rozdělení potenciálu a elektrického pole. Napětí sondy U_S určujeme vzhledem k referenční elektrodě. Potenciál plazmatu v místě sondy vůči stejné referenční elektrodě označme V_p . Pokud je vůči ní plocha sondy velmi malá, můžeme sondu nazvat jednoduchou. Podle tvaru lze dále sondy dělit na válcové, kulové a rovinné. Závislost proudu protékajícího sondou I_S na napětí přiloženém na sondu V_S tvoří voltampérovou (VA) charakteristiku sondy. Napětí sondy U_S získáme pomocí vztahu

$$U_S = V_S - V_p \quad (1)$$

Pokud sonda není připojena k vnějšímu obvodu a proud elektronů i iontů na ni se ustálí, je výsledný proud nulový a sonda se ustálí na napětí V_{fl} , tedy na plovoucím potenciálu.

VA charakteristiku jednoduché sondy můžeme rozdělit na tři části. Tou první je oblast saturovaného iontového proudu označená na obr. 1 jako *A*. Sonda je záporně nabita vzhledem k potenciálu plazmatu, elektrony jsou odpuzovány a ionty naopak přitahovány. Vizualně se to projevuje temným prostorem obalujícím sondu.

Druhou část charakteristiky tvoří přechodová oblast, pro kterou lze U_S vymezit jako $-2(V_p - V_{fl} \leq U_S \leq 0)$. Na obr. 1 se jedná o oblast *B*. Celkový proud sondou I_S můžeme vyjádřit jako

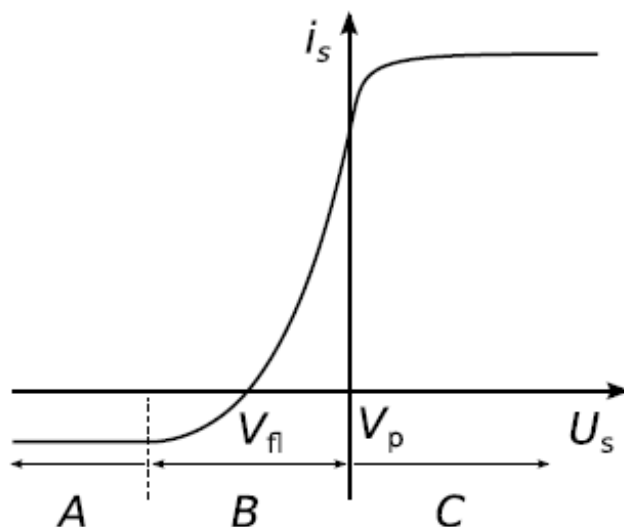
$$I_S = I_i + I_e \quad (2)$$

kde I_i je iontový proud a I_e elektronový proud, který je dán vztahem

$$I_e = S n_e \sqrt{\frac{kT_e}{2\pi m_e}} \exp\left(\frac{-eU_S}{kT_e}\right) \quad (3)$$

kde S je povrch sondy, e elementární náboj, n_e koncentrace elektronů, k Boltzmanova konstanta a m_e hmotnost elektronu.

Oblast saturovaného elektronového proudu je na obr. 1 označená jako *C*. Sonda je vzhledem k potenciálu plazmatu na kladném napětí a přitahuje tak elektrony. U válcové sondy nejví tato oblast nasycení, nýbrž parabolicky narůstá.

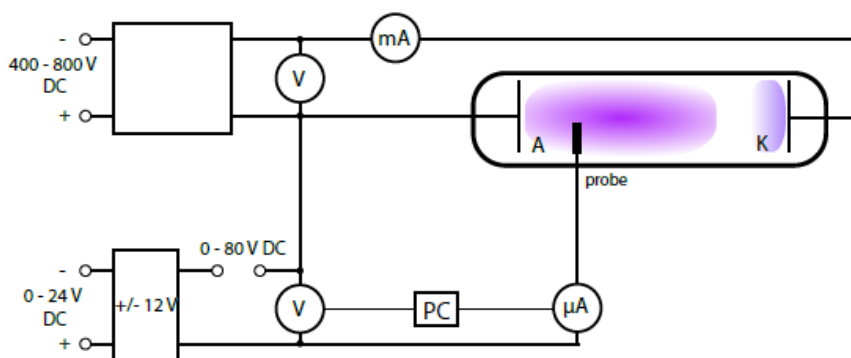


Obrázek 1: VA charakteristika jednoduché rovinné sondy.

2 Měření a výsledky

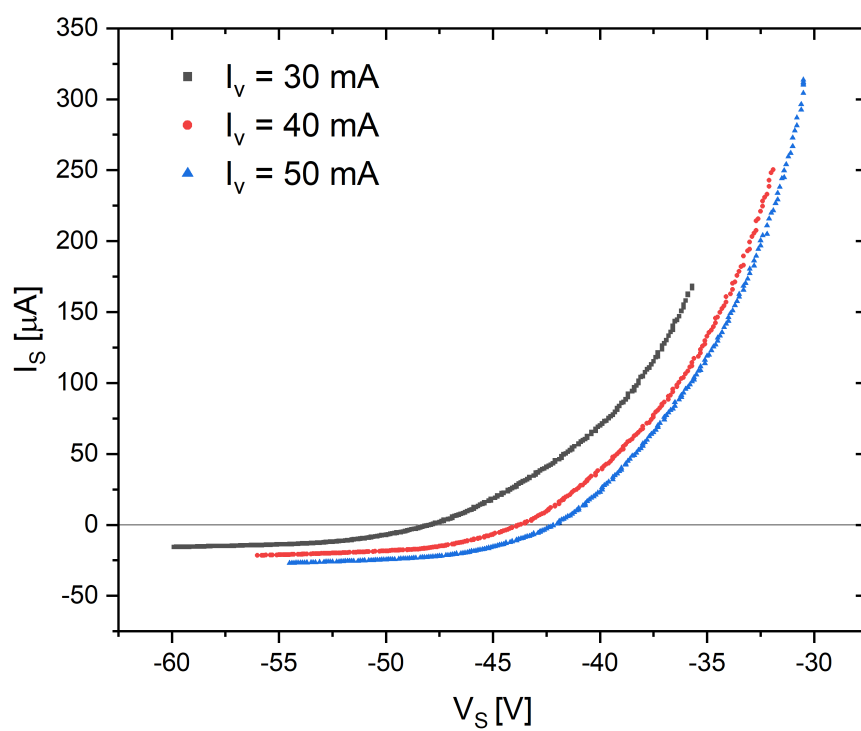
Měření provádíme na aparatuře, jejíž schéma je vidět na obr. 2. Výbojka je čerpaná rotační olejovou vývěvou. Tlak nastavujeme změnou průtoku argonu a měříme jej Piraniho manometrem. Do výbojky je zavedená jednoduchá válcová sonda, jejíž délku jsme odhadli na 8 mm a průměr 0,1 mm. Povrch podstavy válcové sondy je k povrchu jejího pláště S zanedbatelný, po zaokrouhlení dostáváme $S = 2,5 \cdot 10^{-6} \text{ m}^2$.

Při měření vždy nejprve nalezneme plovoucí potenciál, abychom měli jistotu, že naměříme oblast nalevo i napravo od něj. Napětí přiložené na sondu V_s se mění automaticky pomocí elektrického motorku, na kterém stačí zařadit rychlostní stupeň v jednom se směrů chodu. Data jsou ukládána na počítač. Při vyhodnocování jsme je museli synchronizovat.

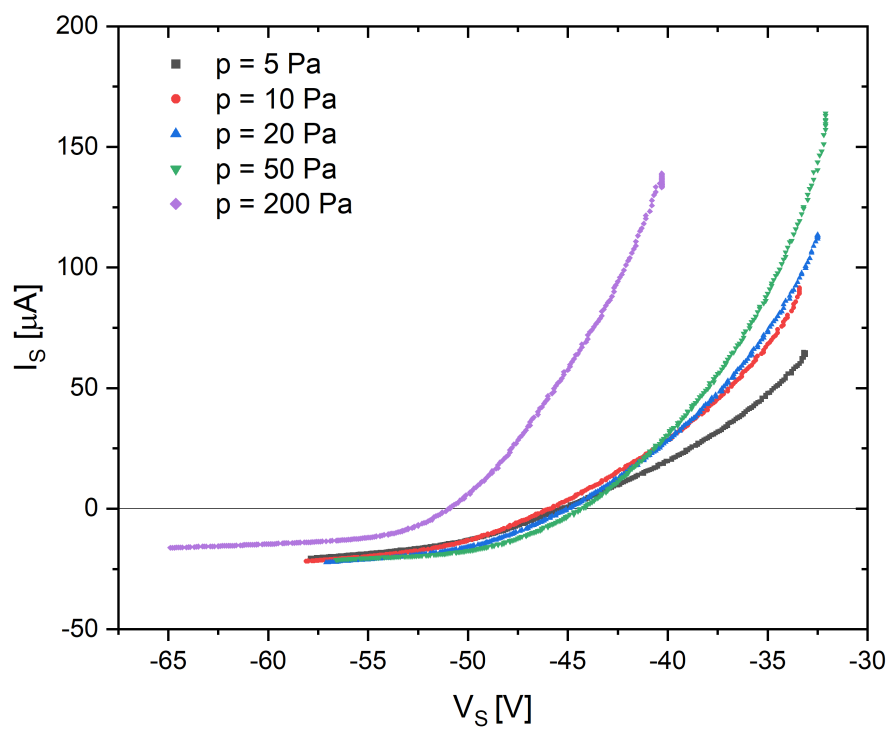


Obrázek 2: Schéma aparatury.

Provedli jsme měření za konstantního tlaku 100 Pa pro tři hodnoty výbojového proudu I_v . Výsledné VA charakteristiky jsou v grafu na obr. 3. Z nich lze určit plovoucí potenciál, který se s rostoucím výbojovým proudem zvětšuje, viz tab. 1. Dále jsme provedli měření za konstantního výbojového proudu 40 mA pro pět hodnot tlaku. Odpovídající VA charakteristiky jsou v grafu na obr. 4. Pro tlak 200 Pa je plovoucí potenciál nejmenší, v oblasti 5–50 Pa však nevykazuje žádný trend, viz tab. 1.

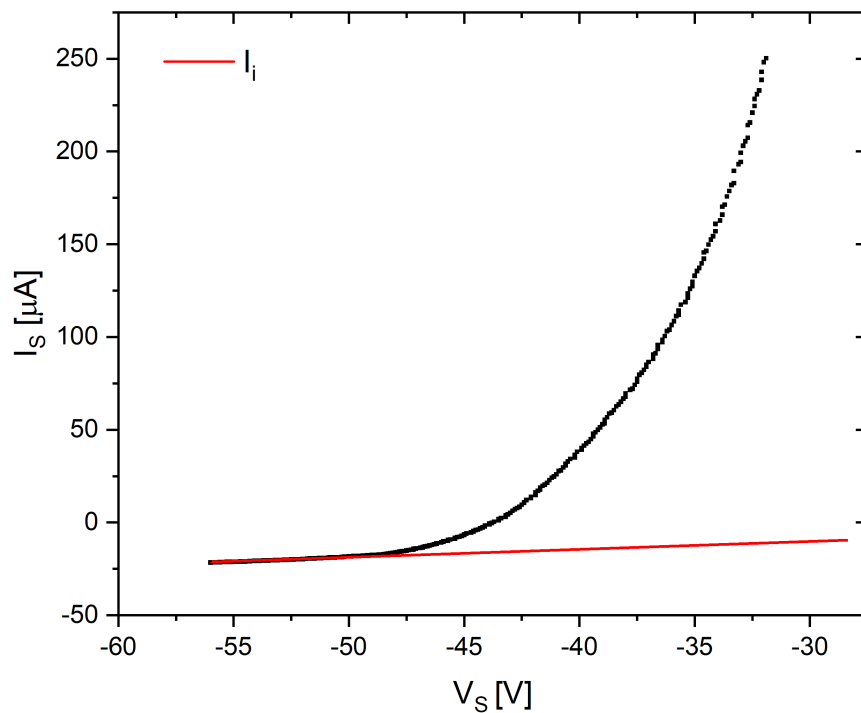


Obrázek 3: Naměřené VA charakteristiky za konstantního tlaku 100 Pa.

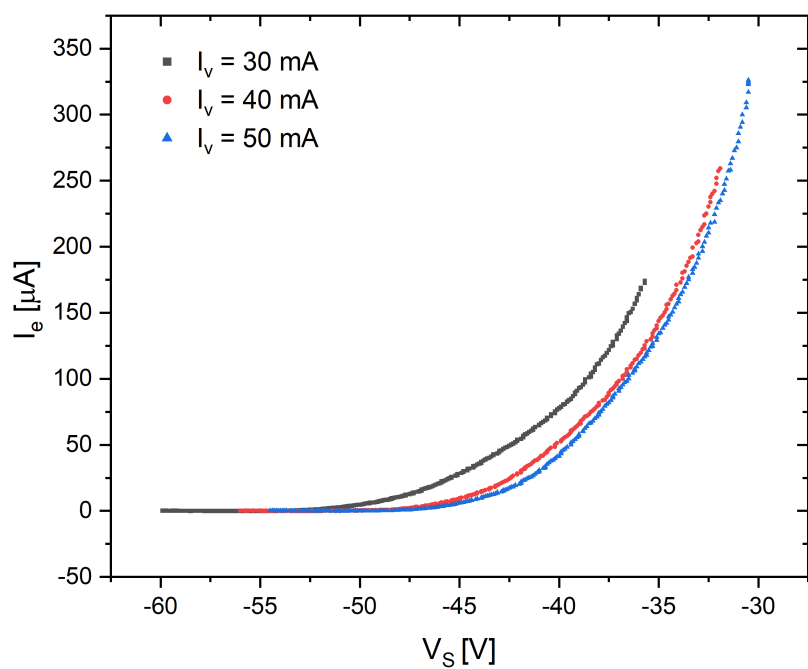


Obrázek 4: Naměřené VA charakteristiky za konstantního výbojového proudu 40 mA.

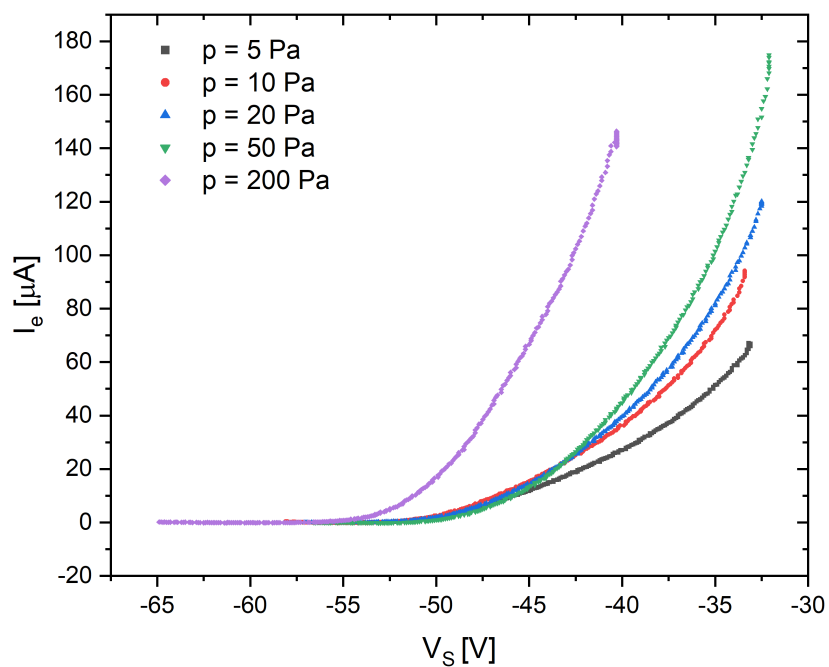
Nyní je potřeba od charakteristik odečíst iontový proud, oblast kde saturuje jsme proložili křivkou. Názorné proložení pro VA charakteristku za podmínek $p = 100$ Pa a $I_v = 40$ mA je na obr. 5. Ve zbylých případech jsme postupovali obdobně. VA charakteristiky s takto odečteným iontovým proudem jsou v grafech na obr. 6 a 7.



Obrázek 5: Lineární fit saturovaného iontového proudu, $p = 100$ Pa a $I_v = 40$ mA.



Obrázek 6: VA charakteristiky s odečteným iontovým proudem pro měření s konstantním tlakem $p = 100 \text{ Pa}$.



Obrázek 7: VA charakteristiky s odečteným iontovým proudem pro měření s konstantním proudem $I_v = 40 \text{ mA}$.

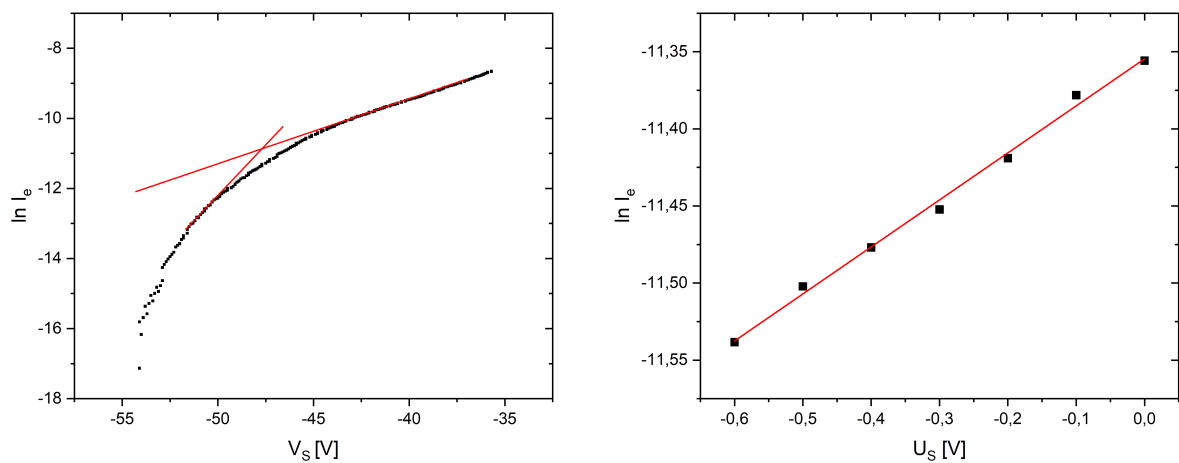
Potenciál plazmatu V_p přibližně určíme ze zlomu VA charakteristik jako průsečík asymptot k lineárním částem závislostí. Tento postup je vidět na obrázcích 8 až 15 vlevo a výsledné V_p jsou uvedeny v tab. 1. Vždy platí, že V_p je větší než V_{fl} . Stejně jako V_{fl} , potenciál plazmatu s rostoucím výbojovým proudem roste, při změně tlaku nevykazuje žádný trend. Nyní můžeme ze vztahu (1) dopočítat U_s . Pokud následně vyneseme do grafů závislosti $\ln I_e = -\frac{e}{kT_e}U_s + C$ pro oblasti $-2(V_p - V_{fl}) \leq U_s \leq 0$, můžeme z elektronového proudu pro $U_s = 0$ dle vztahu (3) dopočítat koncentraci elektronů. Závislosti $\ln I_e = f(U_s)$ proložené přímkou jsou na obrázcích 8 až 15 vpravo. Výsledné elektronové teploty a koncentrace elektronů jsou v tab. 2. S rostoucím výbojovým proudem roste i koncentrace elektronů a jejich teplota klesá. S rostoucím tlakem pozorujeme stejnou závislost, tedy klesající teplotu a rostoucí koncentrace elektronů.

Tabulka 1: Plovoucí a plazmové potenciály

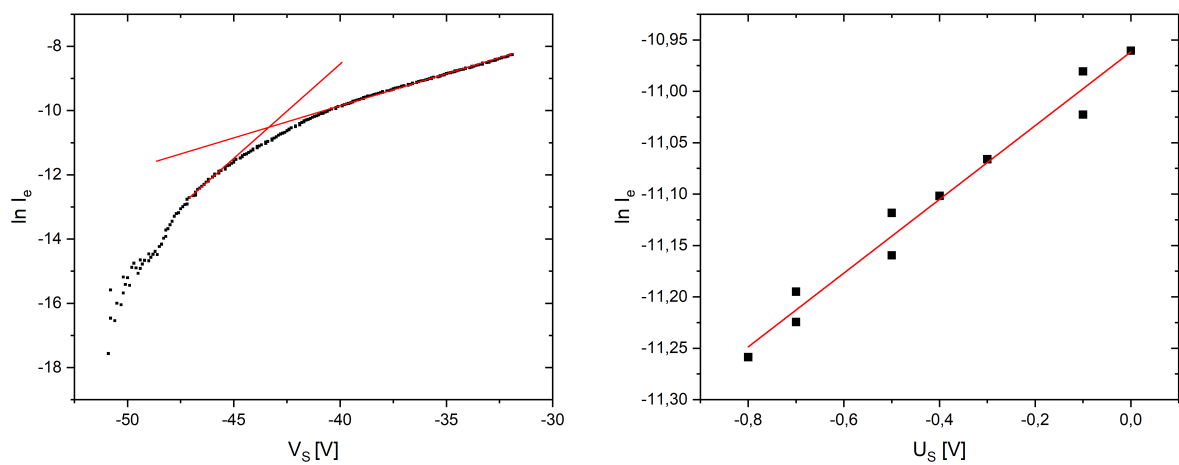
	$p = 100 \text{ Pa}$			$I_v = 40 \text{ mA}$	
$I_v \text{ [mA]}$	$V_{fl} \text{ [V]}$	$V_p \text{ [V]}$	$p \text{ [Pa]}$	$V_{fl} \text{ [V]}$	$V_p \text{ [V]}$
30	-48,0	-47,7	5	-45,3	-44,8
40	-43,8	-43,4	10	-45,8	-45,2
50	-42,2	-41,6	20	-45,0	-44,6
			50	-44,4	-43,9
			200	-50,9	-49,9

Tabulka 2: Teploty a koncentrace elektronů

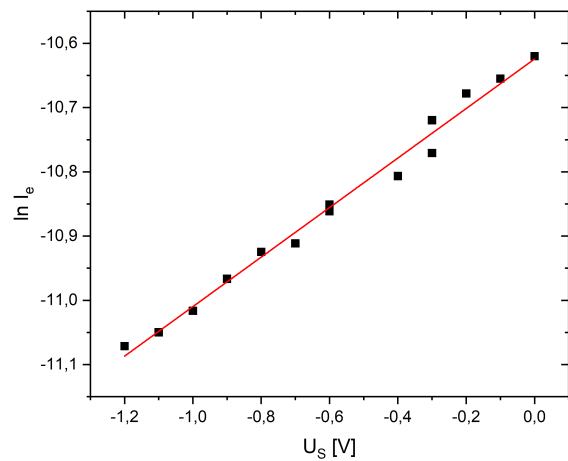
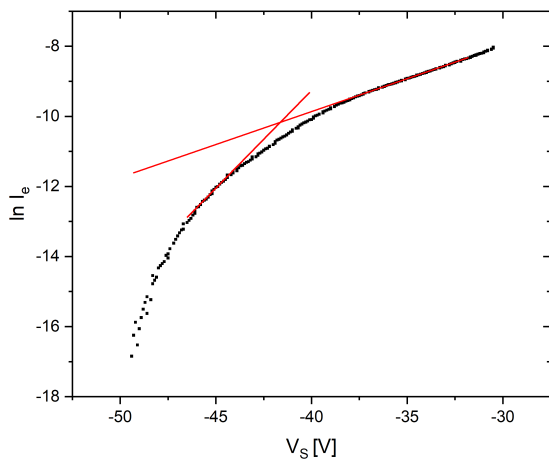
	$p = 100 \text{ Pa}$			$I_v = 40 \text{ mA}$	
$I_v \text{ [mA]}$	$T \text{ [eV]}$	$n_e [10^{14} \text{ m}^{-3}]$	$p \text{ [Pa]}$	$T \text{ [eV]}$	$n_e [10^{14} \text{ m}^{-3}]$
30	3,3	1,0	5	4,6	0,8
40	2,8	1,6	10	4,3	1,1
50	2,6	2,3	20	4,0	1,2
			50	3,7	1,4
			200	2,2	1,7



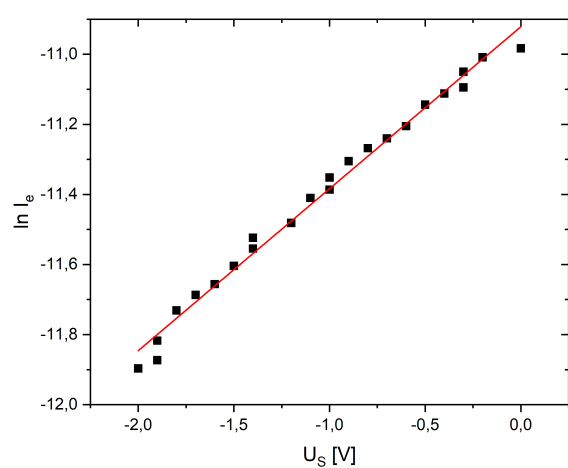
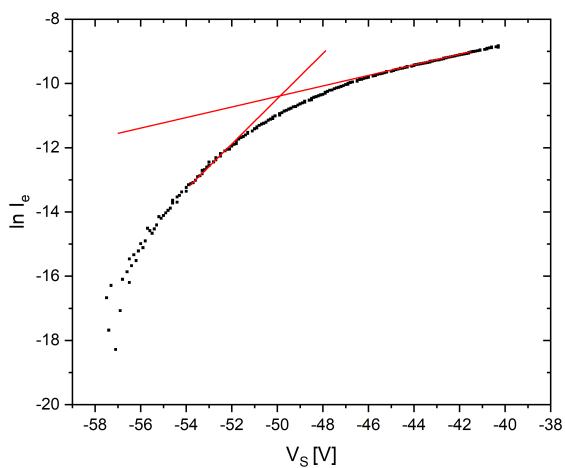
Obrázek 8: Stanovení potenciálu plazmatu a elektronové teploty, $p = 100$ Pa a $I_v = 30$ mA.



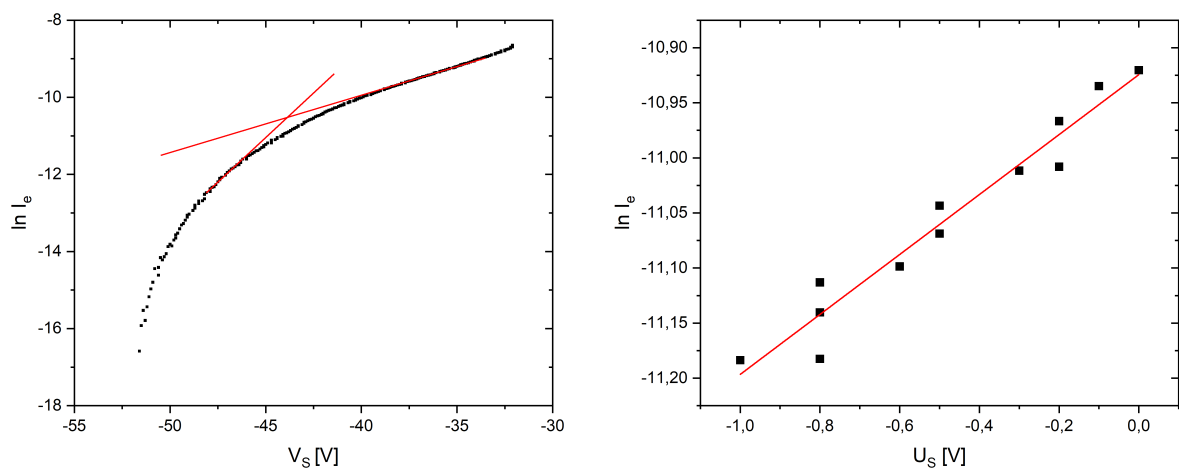
Obrázek 9: Stanovení potenciálu plazmatu a elektronové teploty, $p = 100$ Pa a $I_v = 40$ mA.



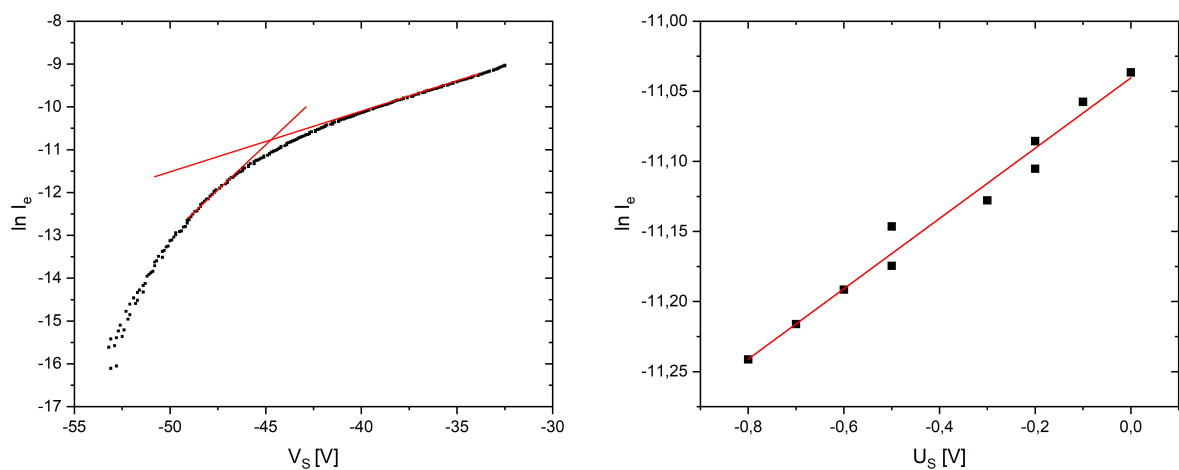
Obrázek 10: Stanovení potenciálu plazmatu a elektronové teploty, $p = 100$ Pa a $I_v = 50$ mA.



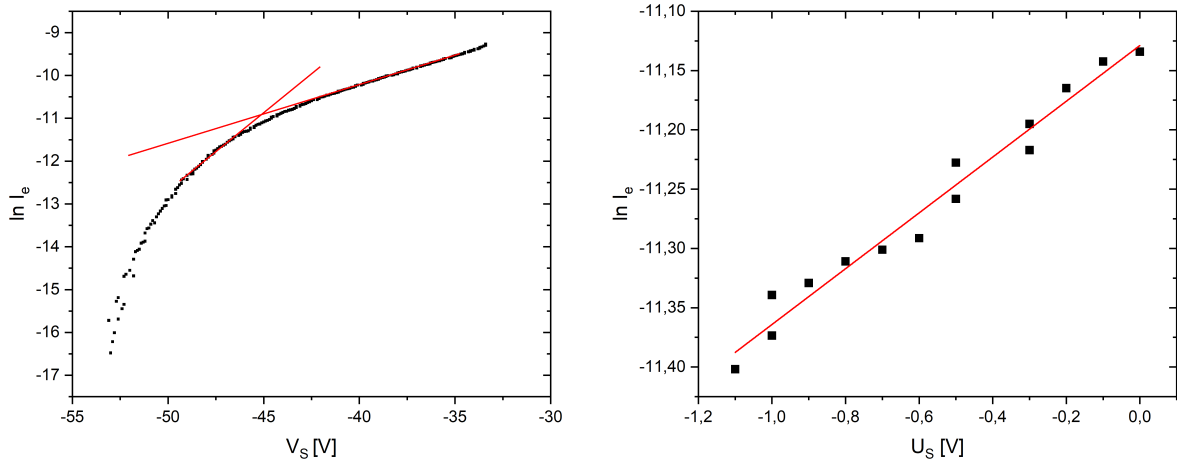
Obrázek 11: Stanovení potenciálu plazmatu a elektronové teploty, $p = 200$ Pa a $I_v = 40$ mA.



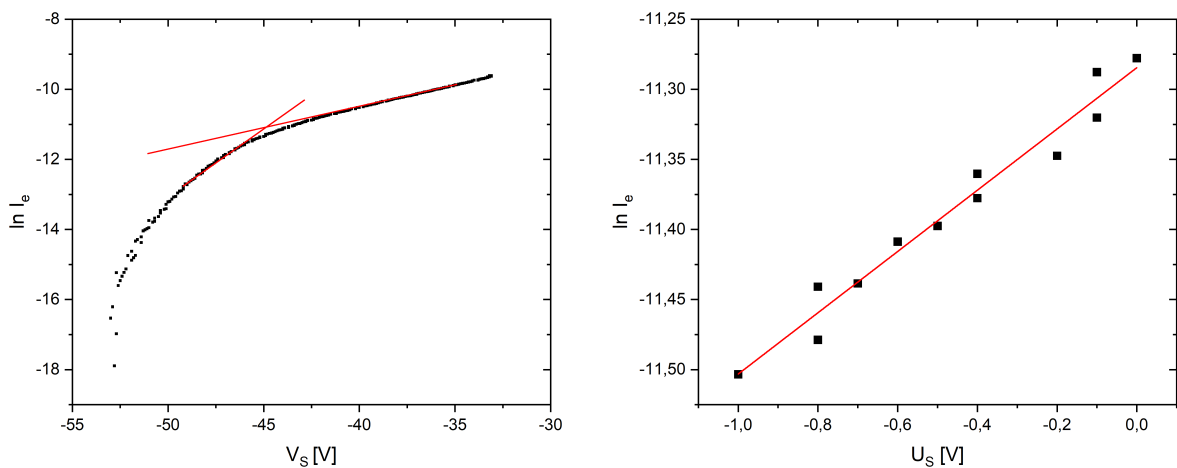
Obrázek 12: Stanovení potenciálu plazmatu a elektronové teploty, $p = 50$ Pa a $I_v = 40$ mA.



Obrázek 13: Stanovení potenciálu plazmatu a elektronové teploty, $p = 20$ Pa a $I_v = 40$ mA.



Obrázek 14: Stanovení potenciálu plazmatu a elektronové teploty, $p = 10$ Pa a $I_v = 40$ mA.



Obrázek 15: Stanovení potenciálu plazmatu a elektronové teploty, $p = 5$ Pa a $I_v = 40$ mA.

3 Závěr

V této úloze jsme se seznámili s měřením pomocí Langmuirovy jednoduché válcové sondy. Naměřili jsme osm VA charakteristik pro různé podmínky. Určili jsme plovoucí potenciál sondy, který se zvětšuje s rostoucím výbojovým proudem, při změnách tlaku za konstantního proudu nevykazoval žádný trend. Dále jsme určili potenciál plazmatu, ten je vždy větší než plovoucí potenciál a při změnách výbojového proudu a tlaku se chová obdobně jako plovoucí potenciál. Nakonec jsme získali elektronové teploty a spočítali elektronovou koncentraci. S rostoucím výbojovým proudem roste i koncentrace elektronů a jejich teplota klesá. S rostoucím tlakem jsme pozorovali stejnou závislost, tedy rostoucí koncentraci elektronů a klesající elektronovou teplotu.